

## 高温超导层状势研究\*

陆彦文

(应用物理系)

**摘要** 本文对文献[1]中提出的层状势作了较为深入的研究,作出了相互作用强度  $U$  与  $\omega$  间关系的曲线,  $U$  与电子密度  $N_e^0$  间关系的曲线和  $U$  与铜氧层数  $l$  间的关系曲线。进而对层状势的微观机制——Cu—O层的有效哈密顿量进行了研究,得到了铜氧层的有效哈密顿量,讨论了空穴(附属费密子)凝聚成库柏对的条件。

**关键词** 超导体, 层状势, 铜氧层, 有效哈密顿量, 二级微扰

**分类号** O511. 2

在文献[1], 虽已推导出含铜氧化物超导体载流子之间的相互作用势即层状势, 但对势的物理性质未作深入的研究, 尤其对势的微观机制基本上未作研究。本文将对层状势的物理性质和微观机制作较为深入的研究。

## 1 层状势的物理物质

按照文献[1], 层状势的傅里叶变换式  $V(q_p)$  为:

$$V(q_p) = \frac{2\pi e^2}{q_p \epsilon_{\text{eff}}} \quad (1)$$

式中  $\epsilon_{\text{eff}}$  为有效介电常数

$$\epsilon_{\text{eff}} = \frac{\epsilon (\omega^2 - \omega_{\text{r}}^2)(\omega^2 - \omega_{\text{z}}^2)}{(\omega^2 - \omega_{01}^2)(\omega^2 - \omega_{02}^2)} \quad (2)$$

而 
$$\omega_{\pm}^2 = \frac{1}{2} \{ (\omega_{01}^2 + \omega_{02}^2 + \Omega_1^2 + \Omega_2^2) \pm [(\omega_{01}^2 + \omega_{02}^2 + \Omega_1^2 + \Omega_2^2)^2 - 4(\Omega_1^2 \omega_{02}^2 + \Omega_2^2 \omega_{01}^2 + \omega_{01}^2 \omega_{02}^2)]^{1/2} \} \quad (3)$$

$$C^2 = (\lambda_{1M} + \lambda_{2M})/M, \omega_{01}^2 = C^2 q_p^2$$

$$\omega_{02}^2 = \pi N_e^0 h^2 q_p^2 / m, \Omega_1^2 = 2\pi N_e^0 z^2 e^2 l q_p / (M \epsilon)$$

$$\Omega_2^2 = 2\pi N_e^0 e^2 q_p / m \epsilon, \epsilon = \sqrt{\epsilon_p \epsilon_z} \quad (4)$$

$V(q_p)$  的方位平均为:

$$U(E, E') = \frac{1}{2\pi} \int_0^{2\pi} d\theta V(q_p) \quad (5)$$

\* 1992年2月6日收稿

将(1)、(2)、(3)和(4)代入(5),在  $A^{[1]}$  略小于且接近于  $-2k_F$  时,利用数值计算描出了  $U(E, E')$  相对于  $\omega = (E - E')/h$  的曲线(图1)。为了描出图1, (5) 式中的各参数值分别取为:  $\epsilon = 4.0, m = 0.91 \times 10^{-21} g, N_0^0 = 2.0 \times 10^{14} \text{cm}^{-2}, N_1^0 = 7.0 \times 10^{-14} \text{cm}^{-2}, M = 6.6 \times 10^{22} g$ 。这些参数对应于  $\text{La}_{1.8}\text{Sr}_{0.2}\text{CuO}_4$  [2,3]。

从图可知,  $U$  有一狭窄的吸引区域:  $-2(10^{-6}e^2/r_0 h) < \omega < 2(10^{-6}e^2/r_0 h)$ 。在该区域内载流子间可形成库柏对。这与文献[1]中的近似表达式(46)和表达式(47)是吻合的。在这区域外,  $U$  迅即变为排斥的,不能形成库柏对。

在图2, 描出了  $E' = E$  时, 相互作用强度  $U$  与电子密度  $N_0^0$  间的关系。在描出这条曲线时, 除  $N_0^0$  外, 其它参数是固定不变的。由图可见, 相互作用强度  $U$  随着电子密度  $N_0^0$  的增加将变得非常强。  $A = -2k_F$  时,  $U$  成为发散。

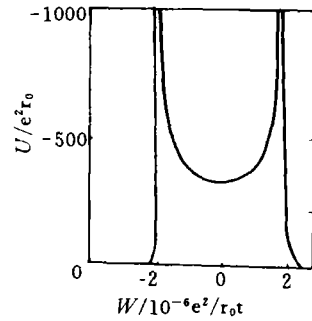


图1 相互作用强度  $U$  与  $\omega = \frac{E - E'}{h}$  间的关系

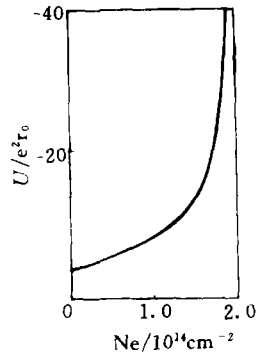


图2  $E = E'$  时  $U$  与电子密度  $N_0^0$  间的关系

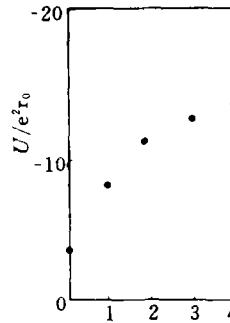


图3  $U$  与铜氧层数  $l$  间的关系

图3 描出了相互作用强度  $U$  与原胞中  $\text{Cu}-\text{O}$  层数间的关系。图中除  $l$  外, 其它参数是固定不变的。从图可见,  $U$  随  $l$  的增加而增加。

## 2 层状势的微观机制—— $\text{Cu}-\text{O}$ 层的有效哈密顿量

现在研究  $U$  的微观机制—— $\text{Cu}-\text{O}$  层的的有效哈密顿量。实验表明, 几种典型的高温超导体, 如  $\text{Y}$  系、 $\text{Bi}$  系和  $\text{Ti}$  系都是空穴型导电。有些研究者指出,  $\text{O}$  位置处的空穴可能是超导电性的起源 [4]。图4 画出了氧面的晶格结构。下面, 就从关于空穴运动的 Hubbard 模型 [5,6] 出发, 研究铜氧层中的有效相互作用势。Hubbard 哈密顿量为 [7,8]:

$$H = -t \sum_{\langle i, j \rangle} \sum_{\sigma} (C_{i\sigma}^{\dagger} C_{j\sigma} + C_{j\sigma}^{\dagger} C_{i\sigma}) + U \sum_i n_{i\uparrow} n_{i\downarrow} \quad (6)$$

式中  $(i, j)$  是表示对最近邻和次近邻位置求和,  $t$  表示氧位置上空穴间的交换积分,  $U$  表示空穴间的库伦相互作用能。考虑到  $U \gg t$  [9], 将哈密顿量  $H$  按  $\frac{t}{U}$  展成级数, 只取到第

一级，对于自旋  $S = \frac{1}{2}$  费密系统有：

$$H = -t \sum_{(i,j),\sigma} (C_{i\sigma}^+ C_{j\sigma} + C_{j\sigma}^+ C_{i\sigma}) + 2\tau \times \sum_{(i,j)} (\vec{S}_i \cdot \vec{S}_j - \frac{1}{4}) \quad (7)$$

式中  $\tau = \frac{2t^2}{U}$ 。作变换：

$$S_i^+ = S_{i\uparrow}^+ S_{i\downarrow}, \quad S_i^z = \frac{1}{2} (S_{i\uparrow}^+ S_{i\uparrow} - S_{i\downarrow}^+ S_{i\downarrow}) \\ C_{i\uparrow} = S_{i\uparrow} e_i^+ \quad (8)$$

式中  $S_{i\sigma}$  或  $S_{i\sigma}^+$  是薛定谔玻色算符， $e_i$  或  $e_i^+$  为附属费密算符<sup>[10]</sup>：

$$H = H_t + H_\tau \quad (9)$$

$$H_t = - \sum_{(i,j),\sigma} t_{ij} (e_i e_j^+ S_{i\sigma}^+ S_{j\sigma} + e_j e_i^+ S_{j\sigma}^+ S_{i\sigma}) \quad (10)$$

$$H_\tau = - \tau \sum_{(i,j),\sigma} [S_{i\sigma}^+ S_{j,-\sigma}^+ S_{j,-\sigma} S_{i\sigma} - S_{i\sigma}^+ S_{j,-\sigma} S_{j\sigma} S_{i,-\sigma}] \quad (11)$$

将 Cu-O 层晶格分成两个子格：A 子格和 B 子格，位置在  $\mathbf{r}_i = (m+n, m-n)$  的格点属 A 子格，相应的有关算符表为  $S_{i\sigma} = S_{i\sigma}^A$  和  $e_i = a_i$ 。位置在  $\mathbf{r}_i + \mathbf{Z} = (m+n+1, m-n)$  的格点属 B 子格，相应的有关算符表为  $S_{i\sigma} = S_{i\sigma}^B$  和  $e_{i+\mathbf{z}} = b_i$ 。这里的脚标  $i+\mathbf{Z}$  表示位置  $\mathbf{r}_i + \mathbf{Z}$ 。在  $H_t$  中，考虑到第三近邻格点位置：第一近邻时， $|\mathbf{r}_i - \mathbf{r}_j| = 1$ ， $t_{ij} = t$ ；第二近邻时， $|\mathbf{r}_i - \mathbf{r}_j| = \sqrt{2}$ ， $t_{ij} = t'$ ；第三近邻时， $|\mathbf{r}_i - \mathbf{r}_j| = 2$ ， $t_{ij} = t''$ 。这里的晶胞常数取为 1。

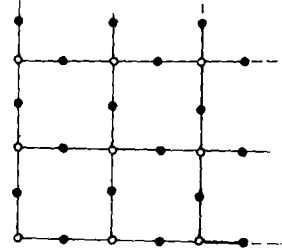


图 4 Cu-O 面的晶格结构  
O — Cu    · — O

首先考虑  $H_\tau$ 。在  $H_\tau$  中，仅考虑到第一近邻既最近邻的情况<sup>[11]</sup>。定义序参量  $\Delta_x$ ：

$$\Delta_x = \frac{1}{2} \langle S_{i\downarrow}^+ S_{i+\mathbf{z}\uparrow} - S_{i\uparrow}^+ S_{i+\mathbf{z}\downarrow} \rangle \quad (12)$$

式中符号  $\langle \dots \rangle$  意为取平均， $\mathbf{Z}$  表示  $x$  和  $y$ ， $i+\mathbf{z}$  表示在  $z$  方向与  $\mathbf{r}_i$  位置最相邻的位置。对  $S_{i\sigma}^+$  等算符做傅里叶变换：

$$S_{i\sigma} = \frac{1}{\sqrt{N}} \sum_{\mathbf{k}} e^{i\mathbf{k} \cdot \mathbf{r}_i} S_{\mathbf{k}\sigma} \quad (13)$$

式中  $N$  为晶格格点总数， $\mathbf{k}$  为二维波矢。于是，在平均场近似下，在  $\mathbf{k}$  空间  $H_\tau$  可表示为：

$$(H_\tau)_{MF} = \sum_{\mathbf{k}} [-4n_{\uparrow}\tau S_{\mathbf{k}\uparrow}^+ S_{\mathbf{k}\uparrow} - 4n_{\downarrow}\tau \times S_{-\mathbf{k}\downarrow}^+ S_{-\mathbf{k}\downarrow} + \gamma_{\mathbf{k}} S_{\mathbf{k}\uparrow}^+ S_{-\mathbf{k}\downarrow}^+ + \gamma_{\mathbf{k}}^* S_{-\mathbf{k}\downarrow} S_{\mathbf{k}\uparrow}] + 4\tau N [|\Delta_x|^2 + |\Delta_y|^2 + n_{\uparrow} n_{\downarrow}] \quad (14)$$

式中  $n_{\uparrow}$  为  $n_{i\uparrow} = S_{i\uparrow}^+ S_{i\uparrow}$  的傅里叶变换式

$$\gamma_{\mathbf{k}} = 4i\tau (\Delta_x \sin k_x + \Delta_y \sin k_y) \quad (15)$$

定义  $\theta_{\mathbf{k}}$  和  $\lambda$ ：

$$\gamma_k = |\gamma_k| e^{i\theta_k} \quad (16)$$

$$\lambda = -2\tau(n_+ + n_-) \quad (17)$$

作玻戈留波夫变换:

$$S_{k+} = u_k \alpha_k - v_k \beta_k^\dagger \quad (18)$$

$$S_{-k-} = -v_k \alpha_k^\dagger + u_k \beta_k \quad (19)$$

式中

$$u_k = \frac{1}{\sqrt{2}} \left( \frac{\lambda}{E_k} + 1 \right)^{\frac{1}{2}} e^{\frac{i}{2}\theta_k} \quad (20)$$

$$v_k = \frac{1}{\sqrt{2}} \left( \frac{\lambda}{E_k} - 1 \right)^{\frac{1}{2}} e^{\frac{i}{2}\theta_k} \quad (21)$$

于是  $(H_{\sigma})_{MF}$  化成:

$$(H_{\sigma})_{MF} = \sum_k [E_s(k) \alpha_k^\dagger \alpha_k + E_\beta(k) \beta_k^\dagger \beta_k + E_k - \lambda] + 4\tau N [|\Delta_x|^2 + |\Delta_y|^2 + n_+ n_-] \quad (22)$$

式中

$$E_s(k) = E_k + 4m\tau \quad (23)$$

$$E_\beta(k) = E_k - 4m\tau \quad (24)$$

$$m = \frac{1}{2}(n_+ - n_-) \quad (25)$$

得到了  $H_{\sigma}$  在  $k$  空间的对角化能谱。

下面研究  $H_{\sigma}$  对  $S_{\sigma}^{\pm}$  ( $S_{\sigma}$ ) 和  $e_i^{\pm}$  ( $e_i$ ) 作傅里叶变换后, 在  $k$  空间,  $H_{\sigma}$  成为  $H_{\sigma k}$ :

$$H_{\sigma k} = \frac{1}{N} \sum_{k_1, k_2} \sum_{q, \sigma} \{ [t(k_1 - k_2) e^{i(k_1 - k_2) \cdot r} b_{k_1}^\dagger a_{k_1+q} \times S_{k_2, q, \sigma}^+ S_{k_2, q, \sigma}^- + H \cdot C] + t(k_1 - k_2) [a_{k_1}^\dagger \times a_{k_1+q} S_{k_1+q, \sigma}^+ S_{k_2, \sigma}^+ + b_{k_1}^\dagger b_{k_1+q} S_{k_2+q, \sigma}^+ S_{k_2, \sigma}^+] \} \quad (26)$$

式中  $t(k) = 2t(\cos k_x + \cos k_y)$

$$t(k) = 4t \cos k_x \cos k_y + 2t(\cos 2k_x + \cos 2k_y) \quad (27)$$

$a_k$  和  $b_k$  分别为  $a_i$  和  $b_i$  的傅里叶变换。对(26)式作一级微扰计算, 即对  $H_{\sigma k}$  中  $S^+ S$  取图 5 (a) 所示的热平均后, 得到附属费密算符的能谱:

$$\langle H_{\sigma k} \rangle = \sum_k E_k(k) (a_k^\dagger a_k + b_k^\dagger b_k) \quad (28)$$

$$\text{式中 } E_k(k) = \frac{1}{N} \sum_{k_1, \sigma} t(k - k_1) \langle S_{k_1, \sigma}^+ S_{k_1, \sigma}^+ \rangle \quad (29)$$

应用(14)和(29)式, 可得到哈密顿量  $H$  在  $k$  空间的一级微扰表示:

$$H_k = \sum_k [E_s(k) \alpha_k^\dagger \alpha_k + E_\beta(k) \beta_k^\dagger \beta_k + E_k - \lambda + E_k(k) (a_k^\dagger a_k + b_k^\dagger b_k)] + 4\tau N \cdot [|\Delta_x|^2 + |\Delta_y|^2 + n_+ n_-] \quad (30)$$

从(30)式所示的一级能谱中, 看不出附属费密子间存在相互吸引作用。试对附属费密子作如图 5 (b) 所示的二阶微扰计算, 可得到

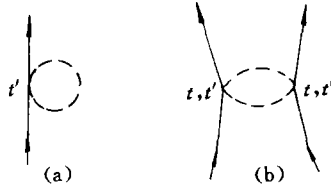


图 5

(a) 对附属费密子的第一级微扰；(b) 对附属费密子的第二级微扰

有效哈密顿量在  $k$  空间的表示：

$$H_{\text{eff}} = \frac{1}{N} \sum_{k_1, k_2} V(k_1, k_2) a_{k_h+k_2}^+ b_{k_h-k_2}^+ b_{k_h-k_1} b_{k_h+k_1} \times e^{i(k_1-k_2)} \quad (31)$$

式中

$$\begin{aligned} V(k_1, k_2) = & - \frac{4(n_B - \frac{1}{2}\delta)}{[E_h(K_h - K_1) - E_h(K_h - K_2)]^2 - E_s(K_s + K_1 + K_2)^2} \\ & \times \{ [8\tau\Delta + E_s(K_s + K_1 + K_2)] t(K_h + K_s - K_1) \\ & \times t(K_h - K_s + K_2) + [8\tau\Delta - E_s(K_s + K_1 + K_2)] \\ & \times t(K_h + K_s - K_1) t(K_h + K_s - K_2) + \sum_{i=1}^2 \gamma K_i \\ & + K_1 + K_2) t(K_h - K_s + K_1) t(K_h + K_s - K_2) \} \\ & + \frac{4(n_B - \frac{1}{2}\delta) |\gamma(K_s + K_1 + K_2)|}{[E_h(K_h - K_1) - E_h(K_h - K_2)]^2 - E_s(K_s + K_1 - K_2)^2} \\ & \times \sum_{i=1}^2 t(K_h - K_s + K_i) t(K_h + K_s - K_i) \end{aligned} \quad (32)$$

$\delta$  为空穴浓度,  $n_B = 0.3034$ ,  $E_s(\mathbf{K}) = 4J\Delta \times \sqrt{1 - (\sin K_x + \sin K_y)^2}/4$  是自旋系统的能谱,  $\gamma(\mathbf{k}) = 2iJ\Delta \times (\sin K_x + \sin K_y)$

$$K_h = \begin{cases} (\pi/2, -\pi/2), & t' > \max(1.86t', 0) \text{ 时} \\ (\pi/2, \pi/2), & t' < \min(-1.86t', 0) \text{ 时} \\ (0, 0), (\pi, 0), & \text{其它} \end{cases} \quad (33)$$

$K_h$  围成附属费密子的小费密面, 费密动量  $k_F = \sqrt{2\pi\delta}$ . 对(32)式取角平均后, 式中的  $E_s(K_s + K_1 \pm K_2)$  成为  $E_s(K_s + K_F)$ , (32)式则成为:

$$\langle V \rangle = \frac{16J\Delta(n_B - \frac{1}{2}\delta)\omega}{[E_h(K_h - K_1) - E_h(K_h - K_2)]^2 - E_s(K_s + K_F)^2} \quad (34)$$

式中

$$w = \begin{cases} 4\pi^2\delta^2t^2 + 32(t' - t'')^2 & t' > \max(1.86t'', 0) \\ -16\pi\delta t^2 + 32(t' + t'')^2 & t' < \min(-1.86t'', 0) \\ -16\pi\delta t^2 + 16\pi^2\delta^2t'^2 + 32t'' & \text{其它} \end{cases} \quad (35)$$

(34)式表明,当  $|E_h(\mathbf{K}_h - \mathbf{K}_1) - E_h(\mathbf{K}_h - \mathbf{K}_2)| < E(\mathbf{K}_s + \mathbf{K}_f)$  时,在  $w > 0$  的情况下,相互作用是吸引性的由附属费密子对构成库的柏对凝聚形成。

### 参 考 文 献

- 1 陆彦文. 国防科技大学学报, 1992, 14(3)
- 2 Finnemore D K, Shelton K N, McCallum R W, Ku H C, McCarley R E, Chen C, Klavins P and Kogan v. Phys Rev B35, 1987, (5319)
- 3 Ong N P, Wang Z Z, Clanhold J, Tarascon T M, Greene L H and McKinnon W R. Phys Rev B35, 1987, (8807)
- 4 Emery V J. Phys Rev Lett. 1987, 58(2794)
- 5 李正中. 固体理论. 高等教育出版社, 1985
- 6 Anderson P W. Science, 1987, 235(1196)
- 7 Gros C, Joynt R and Rice T M. Phys Rev B36, 1987, 381
- 8 Yoshioka D. J Phys Soc Jpn 1990, 59 (412)
- 9 Yoshioka D. J Phys Soc Jpn 1989, 58 (1516)
- 10 Yoshioka D. J Phys Soc Jpn 1989, 58 (32)
- 11 Yoshiokd D. J Phys Soc Jpn 1989, 58 (3733)

## Study of Layer Potential for High-Temperature Superconductor

Lu Yanwen

(Department of Applied Physics)

### Abstract

This article makes a deep study on layer potential developed in reference[1]. The curves that describe the relation between  $U$  and electron density  $N_e^0$ , and the relation between  $Cu-O$  plane number  $l$  and  $U$ , are traced. Furthermore, this article studies the micromechanism of layer potential — effective Hamiltonian for  $Cu-O$  layer. Effective Hamiltonian for  $Cu-O$  layer is obtained. The condition for holes (slave-fermions) to be condensed to Cooper pairs is discussed.

**Key Words** \super conductor, layer potential,  $Cu-O$  layer, effective Hamiltonian, second-order perturbation